

КРИТИЧЕСКАЯ СТАТИСТИКА УРОВНЕЙ ЭНЕРГИИ В НЕУПОРЯДОЧЕННЫХ СИСТЕМАХ: III. СИМПЛЕКТИЧЕСКИЙ КЛАСС СИММЕТРИИ

И.Х. Жарекешев

Казахский национальный университет им. аль-Фараби, г. Алматы

Рассматривается функция распределения уровней энергии на локализационном переходе, вызванном беспорядком примесного потенциала в присутствии симплектической симметрии. Установлена квази-пуассоновская асимптотика на больших энергиях, которая оказалась масштабно-инвариантной величиной.

Введение

Мы изучаем статистику электронных уровней со спин-орбитальным взаимодействием в электронной неупорядоченной системе в условиях близких к фазовому переходу металл-изолятор. Квантовые твердые тела с таким типом взаимодействия относятся к системам с симплектической симметрией. Ранее мы рассматривали квантовые системы с ортогональной и унитарной симметрией для критических ансамблей характерных для критической точки перехода Андерсона, вызванного разупорядочением. Применяв усовершенствованную модель Андо [1], мы находим численные корреляции в точном одноэлектронном спектре на переходе проводник-изолятор. Основным результатом, полученным нами, заключается в том, что плотность вероятности $P(s)$ расстояний между ближайшими уровнями не зависит от размера и имеет совершенно новую форму. Известно, что в металлическом состоянии функция $P(s)$ очень близка к формуле Вигнера, которая соответствует симплектическому классу симметрии хаотического Гамильтониана [2]

$$P_{GSE}(s) = \frac{2^{18}}{3^6 \pi^3} s^4 \exp\left(-\frac{64}{9\pi} s^2\right), \quad (1)$$

где s – измеряется в единицах среднего расстояния между уровня энергии электрона. В сильно локализованном режиме спектр энергии полностью некоррелированный и распределение межуровневых расстояний подчиняется закону Пуассона.

$$P_P(s) = \exp(-s). \quad (2)$$

В дополнении к этим двум универсальным распределениям можно ожидать, что существует третья, промежуточная форма $P(s)$, которая соответствует точно переходу проводник-изолятор. Эта новая универсальная статистика, уже была найдена и исследована нами в трехмерном случае, но только без спин-орбитального рассеяния (то есть при $\beta=1$). Аналогичный результат был получен нами для унитарного случая ($\beta=2$), когда симметрия по отношению к обращению времени нарушена наложением внешнего магнитного поля.

Разумно предположить, что аналогичная масштабно-инвариантная универсальность функции $P(s)$ также сохраняется в критической точке двумерной неупорядоченной системы со спин-орбитальным взаимодействием ($\beta=4$). Таким образом, мы расширяем класс универсальности для критического симплектического случая $\beta=4$ и приходим к выводу, что в термодинамическом пределе помимо двух уже известных предельных ситуаций, а именно формулы Вигнера (1) в проводящем режиме и закона Пуассона (2) в изолирующем режиме, существует критическая функция $P(s)$, характеризующая симплектическую симметрию точно на краю подвижности. Следовательно, если $L \rightarrow \infty$, статистика уровней претерпевает

непрерывный скачок дважды: сначала система из делокализованного режима идет к критической точке перехода, а потом от перехода в локализованный режим.

Модель вычисления распределения расстояний между уровнями

В предыдущих статьях серии мы не принимали эффекты, связанные со спин-орбитальным взаимодействием. Между тем к гамильтониану электрона в решетке необходимо добавить член

$$H_{so} = \frac{1}{4m_0^2 c^2} [\sigma \nabla V(r)] \hat{p}, \quad (3)$$

где σ – оператор спина (матрицы Паули); $V(r)$ – потенциальная энергия электрона в поле решетки; c – скорость света. Этот член представляет собой релятивистскую поправку, следующую из уравнения Дирака. В приближении сильной связи эта поправка была учтена для решеточной модели Андо, поэтому здесь мы опустим ее полный вывод.

Чтобы вычислить точную форму критической статистики, мы начинаем с гамильтониана модели Андо, который усовершенствован нами с учетом важного спин-орбитального взаимодействия

$$H = \sum_{n,\sigma} \varepsilon_n c_{n\sigma}^+ c_{n\sigma} + \sum_{n,m,\sigma,\sigma'} V(n,\sigma;m,\sigma') c_{n\sigma}^+ c_{m\sigma'} \quad (4)$$

где $c_{n\sigma}^+$ ($c_{n\sigma}$) – операторы рождения (уничтожения) электрона на узле решетки $n=(x, y)$ со спином σ ; m – номера узлов решетки, ближайших к узлу n ; ε_n – энергии узлов, которые хаотично распределяет вокруг нуля, согласно равномерному распределению с шириной W , параметром определяющим степень беспорядка примесного потенциала; $V(n,\sigma;m,\sigma')=V_x, V_y$ – 2×2 матрицы, элементы которых зависят от направления и описывают прыжковые процессы между ближайшими узлами решетки. Сила спин-орбитального взаимодействия задается параметром энергетического расщепления. Модель (4) более адекватна процессам спинового рассеяния, чем другие модели, так как она симулирует кинетику электронов и их перенос между s -орбиталями посредством рассеяния на p -орбиталях в присутствии спин-орбитального взаимодействия.

Как это обычно делается в теории твердого тела, мы накладываем периодически граничные условия и вычисляем точный дискретный спектр собственных значений (т.е. спектр энергий электрона) с помощью численной процедуры диагонализации, разработанной специально для больших квантовых систем [3]. Она непосредственно была имплементирована, используя усовершенствованный автором метод Ланцоша, для решения задачи на собственные значения гамильтониана (4) [4]. Нами были выбраны квадратные решетки линейных размеров $L/a=50$ и 100 в интервале энергии $[-1,0]$ и $[-0.5,0]$. Заметим, внутри этих малых интервалов плотность состояний почти постоянна.

$$\rho = \frac{1}{\Delta L^2} \approx 0.127. \quad (5)$$

Здесь a – постоянная решетки, Δ – среднее расстояние между уровнями. Собственные значения брались из интервалов энергии, принадлежащих критической области, определяемой условием

$$L < \xi(E) = l_0 \left| \frac{E - E_c}{E_c} \right|^{-\nu}, \quad (6)$$

где ξ – длина локализации, которая превышает размер системы L ; l_0 – некоторый микроскопический масштаб длин, который порядка упругой длины свободного пробега $l_0 = v_F \tau_{sc}$.

Установлено, что в модельном гамильтониане (4) полный переход проводник-изолятор происходит при значении степени беспорядка $W_c = 5.74$. Этот беспорядок называется критическим. Полное число полученных в результате диагонализации собственных значений составляло 94672 из 300 реализаций случайного потенциала для размера $L = 50a$ и 101744 из 160 реализаций для размера $L = 100a$, соответственно.

На рисунке 1 показана функция распределения $P(s)$ межуровневых расстояний, вычисленная для двух разных размеров системы на переходе проводник-изолятор. Можно видеть из рисунка 1, что независимо от размера системы, которые изменялась вдвое, все численные данные лежат на одной общей кривой $P_c(s)$. При этом критическая функция $P_c(s)$ очень близка к $P_{GSE}(s)$. Отметим точку $s_0 \approx 1.63$, где две предельные функции $P_{GSE}(s)$ и $P_P(s)$ пересекаются. Похоже, что критическая функция $P_c(s)$ проходит через эту же энергетическую точку. Этот результат приводит к выводу, что энергия $s_0 = 1.63\Delta$ указывает, возможно, на какую-то внутреннюю симметрию, происхождение которой нам пока не известно.

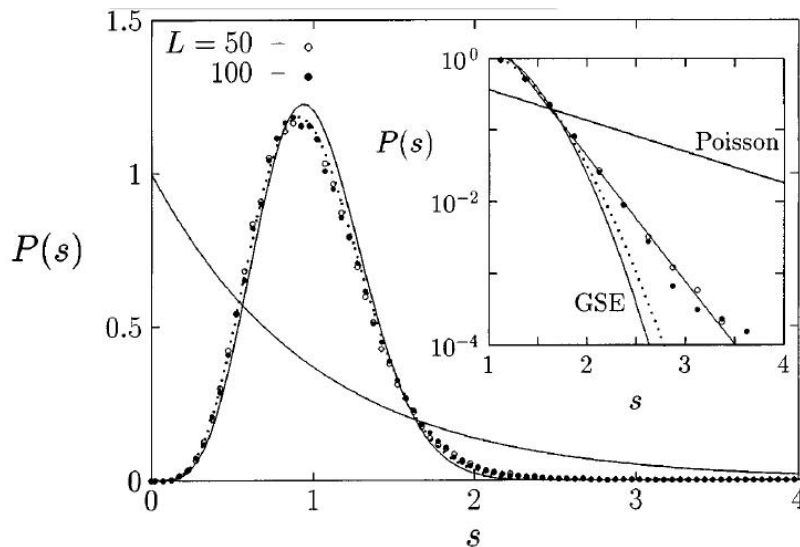


Рис. 1 – Функция распределения интервалов $P(s)$ для двумерной неупорядоченной системы с симплектической симметрией в критической точке перехода проводник-изолятор. L – линейный размер системы: $L=50$ и $L=100$; сплошные линии – формула Вигнера $P_{GSE}(s)$ (1) и формула Пуассона $P_P(s)$ (2); пунктирная линия – интерполяция по уравнению (7); вставка – асимптотическое поведение $P(s)$ на больших энергиях s

Как и для всех симплектических систем поведение $P(s)$ на малых спейсингах описывается степенным законом $P(s) \propto s^4$. Интересно отметить, что наш результат по форме критической функции $P(s)$ отличается от результата, полученного ранее другими авторами [5,6] для малых систем. Применим предложенное в работе [7] интерполяционное выражение

$$P(s) = Bs^4 \exp(-As^{2-\gamma}). \quad (7)$$

Метод наименьших квадратов дает нам следующие коэффициенты

$$A=2.77 \pm 0.05, \quad B=17.8 \pm 0.8 \quad \text{и} \quad \gamma=0.28 \pm 0.03 \quad (8)$$

Используя уровень доверия 95% ($\alpha=0.05$) для проверки статистической гипотезы в области энергий $0 < s < 3$ мы получаем $\chi^2=29.2$ из наших численных данных. Это значение меньше, чем ожидаемая оценка $\chi^2_\alpha=6.34$. Следовательно, гипотеза, предлагаемая аналитической формулой (7), может быть принята и считается справедливой в пределах относительной ошибки $(\chi^2/N)^{1/2} \approx 2.0\%$.

Здесь, однако, необходимо отметить следующее противоречие. Хотя вычисленные нами функции распределения $P_c(s)$ в диапазоне $0 < s < 3$ хорошо согласуются с аналитической формулой (7), показатель $\gamma=0.28$, полученный из интерполяции, дает величину критического индекса длины локализации

$$\nu = \frac{1}{d(1-\gamma)} \approx 0.7,$$

которая сильно отличается от своего истинного значения $\nu=2.75$, известной и проверенной в литературе [8]. Более того, если мы удалимся в область асимптотически больших s , то видно, что наши численные результаты сильно отклоняются от формулы (7) (вставка рисунка 1). Вместо этого, они более успешно описываются следующей зависимостью

$$P(s) \propto \exp(-A_c s), \quad (9)$$

то есть экспоненциальным законом со скоростью спада $A_c=4.0 \pm 0.2$.

Заметим, что этот спад происходит в 4 раза быстрее, чем из закона Пуассона (2) в изолирующем режиме, но зато намного медленнее промежуточной асимптотики (9). Аналогичный асимптотический хвост критического распределения $P_c(s)$ был найден и исследован нами для трехмерных систем без спин-орбитального взаимодействия. Однако там коэффициент для нулевого спин-орбитального взаимодействия $A=1.85$ почти вдвое меньше, чем с сильным спин-орбитальным взаимодействием. Этот эффект объясняется тем, что спектр энергий становится более жестким. Другими словами, из-за ограничения степеней свободы, характерных для рассеяния спина электрона на орбиталях атомных остовов в узлах решетки [9] сжимаемость дискретного спектра резко уменьшается.

Асимптотическое поведение на больших энергиях

Для того чтобы уменьшить влияние относительных флуктуаций из-за ограниченного числа случайных реализаций и проанализировать асимптотическое поведение функции распределения более подробно мы рассмотрели полную функцию вероятности

$$I(s) = \int_s^\infty P(s') ds'. \quad (10)$$

Интегрирование означает порцию интервалов, которые больше по величине, чем заданный интервал энергий s . Из условий нормировки ясно, что

$$I(0)=1 \quad \text{и} \quad \int_0^{\infty} I(s)ds = 1 \quad (11)$$

безотносительно к беспорядку W . В сильно локализованном режиме имеем $I(s)=\exp(-s)$, а $I_{GSE}(s)$ вычисляется из теории хаотических матриц.

На рисунке 2 проведены результаты нашего численного моделирования для критической вероятности $I_s(s)$. Здесь мы снова наблюдаем сильное отклонение от асимптотической формулы (7), особенно при больших энергиях s . Отметим, что форма критической функции $I_s(s)$ не чувствительна к изменению размеров исследуемой системы, как и самой $P(s)$. Простой экспоненциальный хвост соответствует уравнению (9)

$$\ln I(s) = -A_c s + C_c \quad (12)$$

где $A_c \approx 4.0$ и $C_c \approx 3.6$. Подобное поведение видно также на вставке к рисунку 1.

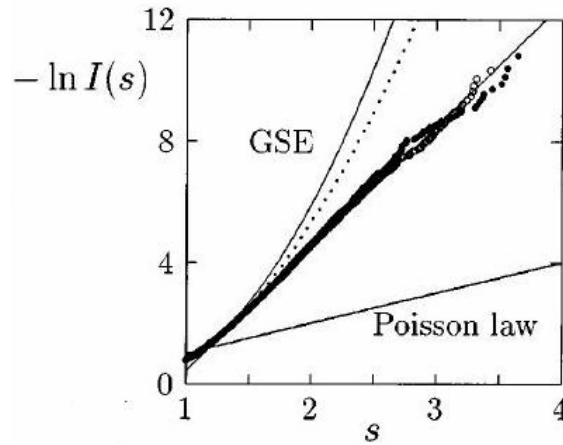


Рис. 2 – Асимптотика интегрированной вероятности $I(s)$ при критическом беспорядке на переходе проводник-изолятор. сплошные линии – $I_{GSE}(s)$ из теории хаотических матриц и $I_P(s) = \exp(-s)$ из закона Пуассона для проводящей и изолирующей фаз, соответственно; пунктирная линия – формула, получена из интерполяции (7); прямая сплошная линия – формула (12)

Мы тщательно проверили, что линейный наклон $\ln I(s)$ в критической точке перехода не зависит от ширины энергетического интервала, из которого берутся дискретные уровни, коль скоро они принадлежат критической области (см. неравенство (6)). В области очень малой вероятности $I(s) < 10^{-5}$ при $s > 3$ наблюдаются значительные флуктуации, обусловленные уменьшающейся точностью статистических данных для маловероятных событий. Однако, в целом, точность наших вычислений для полной вероятности $I(s)$ все же выше чем для $P(s)$. Следует отметить, что поведение критической функции распределения межуровневых расстояний $P(s)$ не отражает размерность исследуемой системы d , а ее функциональная форма не дает информацию о критическом индексе ν длины локализации.

Заклучение

Мы исследуем статистику уровней энергии двумерный электронной системы со спин-орбитальным рассеянием в условиях перехода проводник-изолятор. Вычислена функция распределения расстояний между ближайшими уровнями в критической точке. Показано, что критическая функция распределения является независимой от размера системы и имеет

квази-пуассоновский спад на больших энергиях, в явном отличии от гауссовой асимптотической формы, полученной из теории хаотических матриц.

Литература

1. Ando T. Numerical study of symmetry effects on localization in two dimensions // *Phys. Rev. B.* – 1989. – V.40. – P. 5325-5339.
2. Efetov K.B. Supersymmetry and theory of disordered metals // *Adv. Phys.* 1983. – Vol.32, N1 – P. 53-127.
3. Писсанецки С. Технология разреженных матриц: / пер. с англ. - М.: Мир, 1988. - 410 с.
4. Zharekeshev I.Kh, Kramer B., Advanced Lanczos diagonalization for models of quantum disordered systems. *Comp. Phys. Comm.* 1999, - V. 121. - P. 502-506.
5. Katomeris G.N., Evangelou S.N. Critical chaos in 2D disordered systems with spin-orbit coupling // *Europhys. Jour. B.* – 2000. – Vol.16. – P. 133-136.
6. Evangelou S. N. Anderson transition, scaling, and level statistics in the presence of spin orbit coupling // *Phys. Rev. Lett.* – 1995. – Vol.75. – P. 2550-2553.
7. Aronov A.G., Kravtsov V.E., Lerner I.V. Level spacing distribution near the Anderson transition // *Pis'ma Zh. Eksp. Teor. Fiz.* – 1994. – Vol.59. – N1. – P. 40-45.
8. Schweitzer L., Zharekeshev I.Kh. Scaling of level statistics and critical exponent of disordered two-dimensional symplectic systems // *J. Phys.: Condens. Matter.* – 1997. – Vol.9. – P. L441-L446.
9. Kuemmeth F., Bolotin K.I., Shi S.-F., Ralph D.C. Measurement of discrete energy-level spectra in individual chemically-synthesized gold nanoparticles // *Nano Lett.* – 2008. – Vol.8, N12. – P. 4506–4512.

РЕТТЕЛМЕГЕН ЖҮЙЕЛЕРДЕГІ ЭНЕРГИЯ ДЕҢГЕЙЛЕРІНІҢ КРИТИКАЛЫҚ СТАТИСТИКАСЫ: III. СИММЕТРИЯНЫҢ СИМПЛЕКТИКАЛЫҚ КЛАСЫ

И.Х. Жарекешев

Энергия деңгейлерінің аралас потенциалдық ретсізделуіне байланысты локализациялық ауысуындағы бөлінуінің критикалық функциясы қарастырылған. Оның масштабы-инвариантты болып табылатын үлкен энергиялардағы квази-пуассоновтық асимптотикасы анықталған.

CRITICAL STATISTICS OF ENERGY LEVEL IN DISORDERED SYSTEMS: III. SYMPLECTIC SYMMETRY CLASS

Isa Kh. Zharekeshev

A critical distribution function of electron energy levels is considered at a localization transition, caused by disorder of the impurity potential in the presence of symplectic symmetry. A quasi-Poisson asymptotic at larger energies is established, which is turned out to be a scale-invariant quantity.